

ЛИТЕРАТУРА

1. Ф. Буден, А. Иоффе. Быстрые реакции в твердых веществах. М., ИЛ, 1962.
2. К. К. Андреев. Термическое разложение и горение взрывчатых веществ. М., ГЭИ, 1957.
3. Б. С. Светлов, А. Е. Фогельзанг. В сб. «Теория взрывчатых веществ». М., «Высшая школа», 1967.
4. А. Ф. Беляев, А. Е. Беляева. Докл. АН СССР, 1946, **52**, 507.
5. Гартнер. Химия твердого состояния. М., ИЛ, 1961.
6. А. С. Розенберг, Ю. Н. Арсеньев, В. Г. Воронков. ФГВ, 1970, **6**, 3.
7. R. Aduiberg. Trans. Faraday Soc., 1939, **35**, 197.
8. И. С. Заслонко, С. М. Когарко и др. Горение и взрыв. М., «Наука», 1972.
9. M. O. Forster, I. C. Withers. Chem. Soc., 1912, **101**, 493.
10. К. К. Андреев, Г. Н. Беспалов. В сб. «Теория взрывчатых веществ». М., Оборонгиз, 1963, с. 430.
11. Л. Д. Ландау. ЖЭТФ, 1944, **14**, 6.
12. К. К. Андреев. Докл. АН СССР, 1946, **54**, 39.
13. В. Г. Левич. Докл. АН СССР, 1956, **109**, 975.
14. К. К. Андреев, М. С. Плясунов. В сб. «Теория взрывчатых веществ». М., Высшая школа, 1967.
15. А. Д. Марголин, О. И. Нефедова, П. Ф. Покил. ПМТФ, 1964, 3.
16. Я. Б. Зельдович. ЖЭТФ, 1942, **12**, 498.
17. П. Ф. Покил, О. И. Нефедова, А. Д. Марголин. Докл. АН СССР, 1962, **145**, 4, 860.
18. А. Д. Марголин. Докл. АН СССР, 1961, **141**, 5, 1131.

УДК 541.128+662.612

НИЗКОТЕМПЕРАТУРНАЯ ЗОНА ФРОНТА УГЛЕВОДОРОДНЫХ ПЛАМЕН

IV. ЭНЕРГЕТИКА ПРОЦЕССОВ ОКИСЛЕНИЯ ПРОПАНА ВБЛИЗИ ФРОНТА ПЛАМЕНИ

*Г. И. Ксандопуло, Б. Я. Колесников, Д. С. Однорог,
В. В. Дубинин*

(Алма-Ата)

В работах [1—3] были описаны результаты измерений профилей составов и температуры в пропан-воздушном (4,5 об. % пропана) пламени с предварительным смешением газов при атмосферном давлении. Изучалось как неингибирированное пламя (I), так и пламена с добавками ингибиторов — $C_2F_4Br_2$ (пламя II) и $(C_2H_5)_2NH$ (пламя III). Основной вывод из этих исследований заключается в том, что пропан вступает в реакцию практически еще при комнатной температуре. Значительные количества CO_2 и CO образуются на самых ранних стадиях горения при сравнительно малом повышении температуры газовой смеси. В непосредственной же близости к зоне свечения пропан почти полностью израсходован.

В данной работе исследуется энергетика процессов в низкотемпературной зоне фронта пропан-воздушных пламен I, II и III. Профиль объемной скорости тепловыделения Φ для пламени I приводился ранее [1]. Условия получения исследуемых пламен, методы отбора и анализа проб, измерения температуры, расчеты скоростей диффузии и суммарных скоростей реакций также описаны ранее [1—3].

Сохранение энергии в зоне горения можно проверить по уравнению [4]

$$\rho_0 v_0 \bar{H} + A \sum_i N_i H_i V_i - \dot{A} \lambda \frac{dt}{dz} = \text{const}, \quad (1)$$

где ρ_0 — плотность холодной горючей смеси; v_0 — нормальная скорость горения; A — отношение поперечных сечений трубки тока; N_i — мольная плотность i -го вещества (число молей в единице объема); V_i — линейная скорость диффузии; H_i — мольная энталпия; λ — коэффициент теплопроводности газовой смеси. Удельная энталпия смеси \bar{H} (на единицу массы) рассчитывалась по формуле

$$\bar{H} = \frac{\sum_i X_i H_i}{\sum_i X_i M_i}, \quad (2)$$

где X_i — мольная доля i -го компонента, M_i — его молекулярная масса. Скорость термодиффузии рассчитывалась по формуле

$$V_{iT} = \frac{k_{iT} D_i}{X_i T} \cdot \frac{dT}{dz}, \quad (3)$$

где D_i — коэффициент бинарной диффузии, а термодиффузное отношение k_{iT} определялось по уравнению [5]

$$k_{iT} = 0,25 X_i (1 - X_i) \frac{M_i - \bar{M}}{\bar{M}}. \quad (4)$$

Градиенты $\frac{dT}{dz}$ получены численным дифференцированием. Значения A в первом приближении были взяты из работы [6].

Профили потоков G_i веществ, не анализировавшихся в пробах (H_2 , H_2O), были получены по экспериментальным профилям составов с использованием закона сохранения элементов

$$\sum_i \frac{v_i G_i}{M_i} = \sum_i \frac{v_i (G_i)_0}{M_i}, \quad (5)$$

где v_i — число атомов данного элемента в молекуле i -го соединения; G_i — обусловленная процессами диффузии и конвекции доля i -го вещества в общем потоке массы через единицу площади; индексом 0 обозначены первоначальные параметры исходной горючей смеси.

Коэффициент теплопроводности газовой смеси рассчитывался по уравнению [7]:

$$\lambda = \sum_{i=1}^n \frac{\lambda_i X_i}{\sum_{j=1}^n A_{ij} X_j}, \quad (6)$$

где λ_i — коэффициенты теплопроводности чистых газов, входящих в состав смеси; A_{ij} — коэффициенты, зависящие от природы газов. Значения коэффициентов A_{ij} вычислялись, согласно [8], по зависимости

$$A_{ij} = 0,25 \cdot \left\{ 1 + \left[\frac{\mu_i}{\mu_j} \left(\frac{M_j}{M_i} \right)^{0,75} \cdot \frac{1 + \frac{S_i}{T}}{1 + \frac{S_j}{T}} \right]^{0,5} \right\}^2 \cdot \frac{1 + \frac{S_{ij}}{T}}{1 + \frac{S_j}{T}}. \quad (7)$$

Здесь μ_i — коэффициенты вязкости чистых компонентов, S_i — постоянные Сезерленда, $S_{ij} = f\sqrt{S_i \cdot S_j}$ ($f=1$, если оба газа i - и j -полярные или неполярные; $f=0,733$, если один из газов полярный).

Отношения μ_i/μ_j в соответствии с рекомендациями [9] вычислялись по уравнению Эйкена

$$\frac{\mu_i}{\mu_j} = \frac{\lambda_i \left(c_{p_j} + 1,25 \frac{R}{M_j} \right)}{\lambda_j \left(c_{p_i} + 1,25 \frac{R}{M_i} \right)}, \quad (8)$$

где R — газовая постоянная. Средняя погрешность расчета λ смеси по уравнениям (6) — (8), согласно [8], составляет $\pm 1,9\%$.

Необходимые для расчетов величины λ_i , c_{p_i} , S_i были взяты в работах [9—11]. Отсутствующие в них λ_i определялись с использованием модели (6—12) Леннарда-Джонса

$$\lambda_i = \frac{1989,1 \cdot 10^7}{\sigma_i^2 \cdot \Omega^{(2,2)*}} \sqrt{\frac{T}{M_i}}. \quad (9)$$

Часть величин S_i рассчитывалась по формуле

$$S_i = 1,5 \cdot T_{\text{кип.}} \quad (10)$$

Хотя уравнение (10) неточно, но для наших расчетов оно пригодно, поскольку ошибка в S_i на 20% влечет ошибку в λ только на 1% [8]. Профили скорости тепловыделения Φ [кал/(см³ · с)] определялись по экспериментальным профилям температуры T в низкотемпературной зоне фронта пламени (до внутренней границы зоны свечения) по уравнению [4]:

$$\Phi = -\frac{1}{A} \left[\rho_0 \bar{c}_p \frac{dT}{dz} - \frac{d}{dz} \left(A \lambda \frac{dT}{dz} \right) \right]. \quad (11)$$

Величину \bar{c}_p находили в каждой точке для соответствующей температуры [4]

$$\bar{c}_p = \sum_i \frac{G_i c_i}{M_i}, \quad (12)$$

где c_i — мольная теплоемкость при постоянном давлении i -го вещества.

Баланс энергии во фронте пламен

Активные частицы, обладающие большим запасом энергии, присутствуют в пламени в относительно малых концентрациях, чем мало меняют средние теплоемкость и теплопроводность смеси, но оказывают заметное влияние на поток энталпии через единицу площади фронта пламени. Следовательно, кажущееся отклонение от закона сохранения энергии, выраженного для пламени в форме уравнения (1), должно быть чувствительным индикатором на радикалы.

Появление такого отклонения в присутствии радикалов следует из постановки эксперимента. Действительно, при расчете потоков энталпии величины температур, измеренные термопарой, соответствуют реальным. Однако свободные радикалы после отбора пробы рекомбинируют в микрозонде и на стенках пробоотборной системы. Большие количества энергии, рассеивающейся при этом, учтеть не представляется возможным. Тогда учет свободных радикалов в виде вкладов в измеренные концентрации стабильных веществ (что мы вынуждены делать из-за

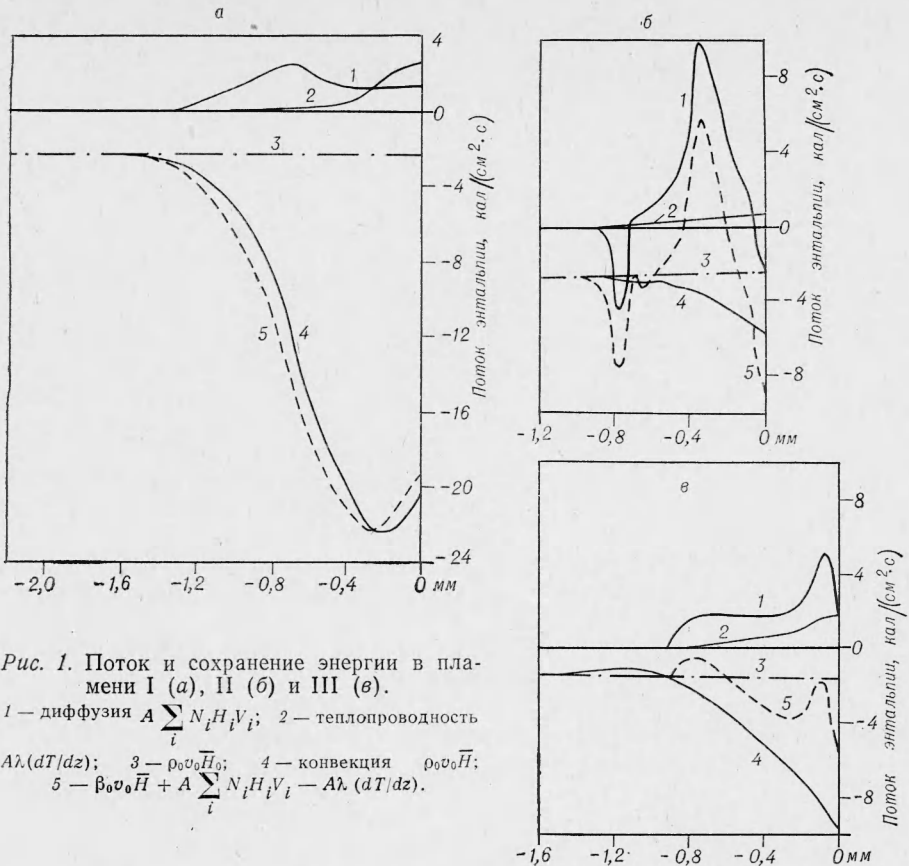


Рис. 1. Поток и сохранение энергии в пламени I (а), II (б) и III (в).

1 — диффузия $A \sum_i N_i H_i V_i$; 2 — теплопроводность $A\lambda(dT/dz)$; 3 — $\rho_0 v_0 \bar{H}_0$; 4 — конвекция $\rho_0 v_0 \bar{H}$; 5 — $\beta_0 v_0 \bar{H} + A \sum_i N_i H_i V_i - A\lambda(dT/dz)$.

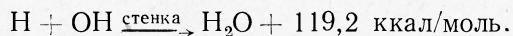
отсутствия данных по концентрациям радикалов) приводит к уменьшению расчетного теплосодержания реагирующей смеси по сравнению с истинной его величиной в пламени.

Результаты расчетов каждого из трех членов уравнения (1), их сумма и теоретическое значение суммы ($\rho_0 v_0 \bar{H}_0$ — т.е. конвективный член для исходной смеси) для трех пламен представлены на рис. 1. Подобные расчеты для разреженного метан-кислородного пламени ранее были выполнены в [12]. Для низкотемпературной зоны результаты качественно сходны с полученными в настоящей работе. Однако разбаланс потока энталпии в нашем случае (атмосферные пламена) значительно больше, что можно объяснить более высокими концентрациями радикалов.

Во всех исследованных пламенах (см. рис. 1) члены, характеризующие перенос тепла диффузией и теплопроводностью, примерно равны по величине и компенсируют друг друга в общем потоке энталпии. Это означает, что в данных пламенах коэффициент температуропроводности смеси примерно равен среднему коэффициенту диффузии, как и предполагается обычно для углеводородных пламен [4, 13]. Следовательно, с некоторым допущением можно принять, что число Льюиса равно единице, и основной вклад в разбаланс потока энталпии вносит конвективный член.

Рассмотрим результаты для пламени I (см. рис. 1, а). Наибольший вклад в величину конвективного члена вносит учет концентрации паров воды в пламени. Присутствие в углеводородных пламенах сверхравновесных концентраций Н и ОН известно [15]. Естественно поэтому предположить, что часть молекул воды образуется уже в микрозон-

де после отбора пробы по реакции с большим экзотермическим эффектом [14]



Можно оценить величины концентраций H и OH в пламени I по условию устранения разбаланса потока энталпии. Максимальное отклонение от баланса в конвективном члене в точке — 0,25 мм составляет 19,8 ккал/(см²·с). Предположим, что весь этот разбаланс обусловлен только рекомбинацией H и OH в микрозонде. Тогда легко найти, что в данной точке $1,82 \cdot 10^{-6}$ моль/см³ воды должно образовываться в микрозонде в процессе рекомбинации.

Концентрация паров воды в точке — 0,25 мм составляет $2,28 \times 10^{-6}$ моль/см³, или 12% объемных. Следовательно, если при отборе пробы в этой точке $1,82 \cdot 10^{-6}$ моль/см³ воды, т. е. 80% от всего количества воды в данном месте, образуется в микрозонде из H и OH, то концентрации последних в пламени I могут достигать 10% объемных. Оценка концентраций H и OH дает верхний предел, поскольку не учитывается возможность образования воды из других радикалов. Не учитывается также возможность образования некоторых промежуточных продуктов (в частности, термодинамически малоустойчивого в данных условиях ацетилена) в микрозонде при рекомбинации соответствующих радикалов. Кроме того, приведенная выше оценка не принимает во внимание потери энергии на излучение, энергию возбужденных частиц, атомарного кислорода и некоторых других радикалов, присутствующих в пламенах.

Оценка максимальной концентрации атомов водорода в пламени I не является неожиданно большой. Например, в работах [16—19] показано, что максимальная концентрация атомов H в водородном и бедных углеводородных пламенах может достигать 5—10%. Оценки максимальных концентраций атомов H в пламенах I—III, полученные в работах [2, 3], также дают величину 2—5% объемных. Таким образом, значительный разбаланс энергии в настоящих экспериментах удовлетворительно может быть объяснен присутствием радикалов в предпламенной зоне.

Балансы энергии в пламенах II и III (см. рис. 1, б, в) показывают заметно меньшую величину «отклонения» от закона сохранения энергии. Очевидно, концентрации радикалов в низкотемпературной зоне этих пламен значительно ниже, чем в неингибиированном пламени. Этот вывод согласуется не только с результатами работ [2, 3], но и с общепринятыми представлениями об уменьшении концентрации радикалов в процессе ингибирования горения.

Объемные скорости тепловыделения

На рис. 2 представлены профили объемных скоростей тепловыделения в низкотемпературной части фронта для пламен I—III, а также суммарные скорости убыли пропана $K_{C_3H_8}$ [1—3] для соответствующих пламен. В неингибиированном пламени (пламя I) заметная скорость тепловыделения обнаруживается уже в точке —2, 4 мм, т. е. намного раньше, чем газовая смесь достигает зоны свечения. Заметное изменение профилей концентраций, однако, наблюдается лишь с точки —1,4 мм [1]. Это расхождение обусловлено, очевидно, большей чувствительностью и точностью определения профиля температуры по сравнению с профилями концентраций.

Ранее [1] отмечалось, что подобная форма профиля объемной скорости тепловыделения была получена в [20, 21]. Скорость тепловыделения достигала максимума в области светящейся зоны, а в низкотем-

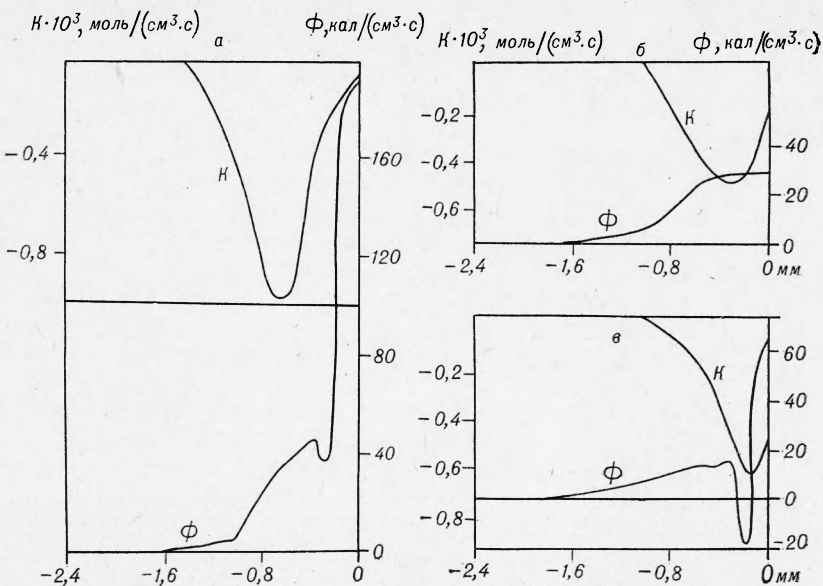


Рис. 2. Оъемная скорость тепловыделения во фронте пламени I (а), II (б), III (в).

пературной части на полученной кривой были обнаружены минимум и точка перегиба. Однако авторы этих работ сочли особенности на кривой объемной скорости тепловыделения лежащими в пределах погрешности расчета и оставили их без внимания.

В настоящей работе величины \bar{c}_p вычислялись с учетом изменения состава и температуры смеси. По сравнению с [1] более точно определен коэффициент теплопроводности смеси с учетом изменения состава и температуры смеси. По-видимому, нестабильные образования, концентрации которых не могли быть учтены, внесут сравнительно малые изменения в расчет \bar{c}_p и λ смеси по формулам (6) и (12). Действительно, учет оценок [2, 3] концентрации атомарного водорода на внутренней границе зоны свечения изменяет \bar{c}_p и λ смеси на $\sim 2\%$, причем величины изменений \bar{c}_p и λ смеси уменьшаются по мере снижения температуры. Поэтому будем считать, что особенности на кривой объемной скорости тепловыделения в пламени I, выраженные отчетливее, чем в [20, 21] (вместо точки перегиба появляется еще один минимум), отвечают реальности.

Третье экстремальное значение Φ (максимум в области зоны свечения) можно связать с быстрыми реакциями рекомбинации. При этом скорость тепловыделения (см. рис. 2, а) в первом минимуме ($-1,0$ мм) составляет $1,6\%$, а во втором ($-0,3$ мм) 4% от величины Φ на внутренней границе зоны свечения. Сравнение с профилями суммарных скоростей реакций K , стабильных веществ в пламени I показывает, что в настоящее время невозможно с достаточной определенностью связать оба минимума с особенностями на профилях K . Возможно, эти особенности на кривых Φ отражают суммарные эффекты взаимодействия процессов продолжения и разветвления цепей.

Профиль объемной скорости тепловыделения Φ в пламени II (см. рис. 2, б) практически никаких особенностей не имеет. Начало процесса тепловыделения наблюдается почти в той же точке, что и в пламени I. В области от $-0,5$ мм и до зоны свечения скорости тепловыделения возрастают очень мало. На внутренней границе зоны свечения величина Φ в пламени II достигается всего 18% по сравнению с пламенем I. Профиль скорости тепловыделения в пламени III (см. рис. 2, в) прояв-

ляет те же особенности, что и в пламени I, хотя процесс тепловыделения сильно заторможен. На внутренней границе зоны свечения скорость тепловыделения составляет лишь 40% от соответствующей величины в пламени I. По-видимому, замедление скорости тепловыделения в ингибированных пламенах по сравнению с неингибированным можно отнести к характерным чертам процесса ингибирования горения.

Таким образом, в предпламенной области (до зоны свечения) про текают реакции с выделением тепла, причем эти реакции начинаются в горючей смеси при комнатной температуре на значительном удалении от зоны свечения (~ 2 мм). Сопоставление профилей Φ и $K_{C_3H_8}$ в соответствующих пламенах (см. рис. 2) показывает, что максимумы скоростей убыли пропана и максимумы скоростей тепловыделения разделены пространственно. Поскольку максимальные скорости тепловыделения в зоне свечения, скорее всего, обусловлены рекомбинацией радикалов [14, 15], а убыль пропана с образованием CO_2 не сопровождается таким сильным тепловыделением, то можно предположить, что пропан расходуется в реакциях с образованием больших количеств радикалов. В этом, вероятно, заключается главная особенность предпламенной зоны — трансформация большей части энталпии топлива в энталпию радикалов. В промежутке между местом максимальной скорости тепловыделения и местом максимальной скорости превращения пропана, в таком случае, процессы продолжения и разветвления цепи, т. е. процессы воспроизведения и накопления радикалов, должны преобладать над процессами их рекомбинации.

Поступила в редакцию
9/VII 1974

ЛИТЕРАТУРА

- Г. И. Ксандопуло, Б. Я. Колесников, Д. С. Однорог. ФГВ, 1974, 10, 6.
- Г. И. Ксандопуло, Б. Я. Колесников, Д. С. Однорог. ФГВ, 1975, 11, 1.
- Г. И. Ксандопуло, Б. Я. Колесников, Д. С. Однорог. ФГВ, 1975, 11, 1.
- Р. М. Фристром, А. А. Вестенберг. Структура пламени. М., «Металлургия», 1969.
- Д. А. Франк-Каменецкий. Диффузия и теплопередача в химической кинетике. М., «Наука», 1967.
- R. M. Fristrom, A. A. Westenberg. Combust. Flame, 1957, 1, 217.
- A. Wassiliowa. Physik. Z., 1904, 5, 737.
- A. L. Lindsay, L. A. Vromley. Ind. Eng. Chem., 1950, 42, 1508.
- Бретшнейдер. Свойства газов и жидкостей. М.—Л., 1966.
- Н. Б. Варгатик. Справочник по теплофизическим свойствам газов и жидкостей. М., 1963.
- Краткий справочник физико-химических величин. Под ред. К. П. Мищенко. Л., «Химия», 1967.
- А. А. Westenberg, R. M. Fristrom. J. Phys. Chem., 1960, 64, 1393.
- А. С. Соколик. Самовоспламенение, пламя и детонация в газах. М., Изд-во АН СССР, 1960.
- В. И. Веденеев, Л. В. Гурвич и др. Энергия разрыва химических связей. Потенциалы ионизации и сродство к электрону. Справочник. М., Изд-во АН СССР, 1962.
- В. Н. Кондратьев, Е. Е. Никитин. Кинетика и механизм газофазных реакций. М., «Наука», 1974.
- Ю. М. Гершон, В. В. Дубинин и др. Изв. АН СССР, сер. хим., 1972, 464.
- R. Reid, R. Wheeler. J. Phys. Chem., 1961, 65, 527.
- E. Bulewicz, C. G. James, T. M. Sugden. Proc. Roy. Soc., 1956, A235, 8.
- C. P. Fenimore, G. W. Jones. J. Phys. Chem., 1958, 62, 693.
- R. Friedman. 4-th Symposium (International) on Combustion. The Williams and Wilkins Co, 1953, p. 259.
- R. Friedman, E. Burke. J. Chem., Phys., 1954, 22, 824.